



دانشگاه علوم پزشکی
و خدمات بهداشتی درمانی اردبیل

دانشگاه علوم پزشکی اردبیل

دانشکده پزشکی

پایان نامه جهت اخذ درجه کارشناسی ارشد بیوشیمی بالینی

بررسی فراوانی برخی پلی مورفیسم‌های مرتبط با ژن *CDKN2B*-

ASI در افراد مبتلا به سرطان معده

نگارش:

سمانه حسنی

اساتید راهنما:

دکتر علی اکبر فضایی

دکتر محمد مآذنی

اساتید مشاور:

دکتر فرهاد پورفرزی

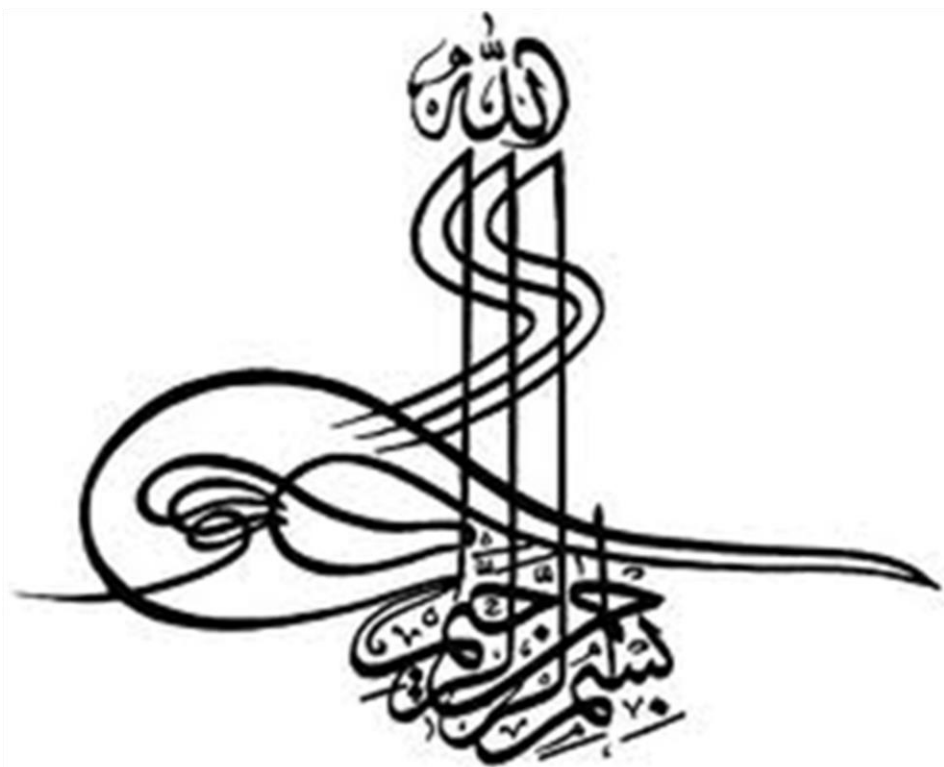
دکتر عباس یزدان بد

اسفندماه ۱۴۰۰

کد اخلاق:

IR.ARUMS.REC.1398.492

شماره پایان نامه: ۰۶۹





دانشگاه علوم پزشکی
اصالت پزشکی، مرامی علمی، نوین

بسمه تعالی

گواهی اصالت پایان نامه

اینجانب دانشجوی مقطع رشته
دانشگاه علوم پزشکی اردبیل تایید می‌نمایم که :

- این پایان نامه بر اساس نتایج بررسیها/ تحقیقات انجام یافته توسط اینجانب تحت راهنمای خانم/آقای دکتر بوده و بوسیله خودم انشا گردیده است و در صورت استفاده از نتایج پژوهش‌ها و یا آثار دیگران بلافاصله به مرجع مورد استفاده استناد شده است و در قسمت منابع و مأخذ مشخصات مرجع به طور کامل ذکر گردیده است.
- مسئولیت صحت مطالب مندرج در این پایان‌نامه به طور کامل با اینجانب است.
- این پایان نامه قبلاً برای دریافت هیچ مدرک تحصیلی (هم سطح ، پایین تر یا بالاتر) در سایر دانشگاه‌ها و موسسات آموزش عالی ارائه نشده است.
- کلیه حقوق مادی و معنوی این پایان‌نامه و هر گونه محصول مستخرج از آن اعم از مقالات، چاپ کتاب و ثبت اختراع به دانشگاه علوم پزشکی اردبیل تعلق دارد و هرگونه استفاده از اطلاعات و یا نتایج، واگذاری اطلاعات به افراد دیگر، چاپ، تکثیر، نسخه‌برداری، ترجمه و اقتباس از این پایان‌نامه بدون اخذ اجازه کتبی از دانشگاه علوم پزشکی اردبیل ممنوع است.
- کلیه مقالات مستخرج از این پایان‌نامه تحت نام دانشگاه علوم پزشکی اردبیل (Ardabil University of Medical sciences) به عنوان وابستگی نویسنده اول یا مسئول و با اطلاع و اجازه تمامی اساتید راهنما و مشاور به چاپ رسیده یا خواهد رسید.
- چنانچه در هر مقطع زمانی، خلاف موارد فوق ثابت شود، عواقب ناشی از آن را می‌پذیرم و دانشگاه مجاز است با اینجانب مطابق با ضوابط و مقررات رفتار نموده و در صورت برخورد قانونی، هیچ گونه ادعایی نخواهم داشت.

نام و نام خانوادگی دانشجو
امضا و تاریخ

- بدینوسیله اصال و صحت نتایج این پایان‌نامه مورد تأیید اینجانب،
.....استاد/اساتید راهنما می‌باشد.

نام و نام خانوادگی استاد/ اساتید راهنما
امضا و تاریخ

پس از حمد و ستایش خدای مهربانم که حامی و یاری‌گر
من در لحظه‌لحظه زندگی است
ماحصل آموخته‌هایم را تقدیم می‌کنم به
پدر و مادر عزیز
و خواهر مهربانم
نشانه‌های لطف خداوند در زندگی‌ام، آنان که بدون
وجودشان، لحظه‌ای یارای زیستن ندارم.

تقدیر و سپاس

از استاد ارجمندم جناب آقای دکتر علی اکبر فضایی و
استاد محترم جناب آقای دکتر فرهاد پورفرضی به دلیل
رهنمودهای ارزنده شان کمال تشکر و امتنان را دارم.

از جناب آقایان دکتر محمد مازنی و دکتر عباس یزدان بد
به پاس کمک های بی دریغشان سپاسگزارم.

تمامی عزیزان همکار در کلینیک گوارش ارس بیمارستان امام
خمینی (ره) و مرکز تحقیقات گوارش و کبد استان اردبیل که در
انجام مراحل این پژوهش مرا یاری نموده اند.

فهرست

عنوان

صفحه

۱..... چکیده:

فصل اول: مقدمه

۵..... (۱-۱) اهمیت موضوع و انگیزه تحقیق

۶..... (۱-۲) اهداف و فرضیات طرح

۶..... (۱-۲-۱) هدف کلی طرح

۶..... (۱-۲-۲) اهداف اختصاصی طرح

۶..... (۱-۲-۳) فرضیات

۷..... (۱-۳) تعریف واژه‌های اختصاصی

فصل دوم: بررسی متون

۸..... (۲-۱) سرطان

۹..... (۲-۲) اپیدمیولوژی سرطان

۱۰..... (۲-۳) سرطان معده

۱۱..... (۲-۴) اپیدمیولوژی سرطان معده

۱۲..... (۲-۵) معده

۱۲..... (۲-۵-۱) آناتومی معده

۱۳..... (۲-۵-۲) مورفولوژی معده

۱۴..... (۲-۵-۳) انواع سرطان معده

۱۴..... (۲-۵-۴) طبقه‌بندی سرطان معده

۱۴..... (۲-۵-۴-۱) طبقه‌بندی بافتی

۱۵..... (۲-۵-۴-۲) طبقه‌بندی تشریحی (کالبدشناسی)

۱۵..... (۲-۵-۵) تظاهرات بالینی

۱۶..... (۲-۵-۶) تشخیص سرطان معده

۱۷..... (۲-۵-۷) جلوگیری از ابتلا به سرطان معده

۱۷..... (۲-۵-۸) عوامل خطرزای سرطان معده

۱۷..... (۲-۵-۸-۱) سن

۱۷..... (۲-۵-۸-۲) جنس

۱۸.....	تغذیه (۲-۵-۸-۳)
۱۸.....	استعمال دخانیات (۲-۵-۸-۴)
۱۸.....	عفونت هلیکوباکتر پیلوری (۲-۵-۸-۵)
۱۹.....	عوامل ژنتیکی (۲-۵-۸-۶)
۲۰.....	پلی مورفیسم تک نوکلئوتیدی (SNP) (۲-۶)
۲۱.....	RNA های غیر کدکننده (۲-۷)
۲۱.....	<i>LncRNA</i> (۲-۷-۱)
۲۲.....	<i>CDKN2B-AS1</i> (۲-۷-۲)
۲۴.....	پلی مورفیسم های <i>CDKN2B-AS1</i> (۲-۸)
۲۵.....	نقش <i>CDKN2B-AS1</i> در سرطان معده (۲-۹)
۲۷.....	مروری بر منابع (۲-۱۰)
۲۷.....	مطالعات جهان (۲-۱۰-۱)
۲۵.....	مطالعات ایران (۲-۱۰-۲)
۴۲.....	گروه های مورد مطالعه (۳-۱)

فصل سوم: مواد و روش کار

۴۲.....	آماده سازی فرایند پژوهش (۳-۲)
۴۲.....	نحوه اخذ نمونه خون و آماده کردن نمونه ها: (۳-۲-۱)
۴۲.....	مواد و لوازم مورد نیاز (۳-۳)
۴۲.....	مواد و لوازم مورد نیاز جهت نمونه گیری: (۳-۳-۱)
۴۲.....	مواد و لوازم مورد نیاز جهت استخراج DNA ژنومی از لوکوسیت های خون محیطی به روش رسوب دهی نمک (۳-۳-۲)
۴۳.....	<i>(Salting out)</i> : (۳-۳-۳)
۴۴.....	مواد و لوازم مورد نیاز در الکتروفورز ژل آگارز جهت ارزیابی کیفیت DNA استخراج شده: (۳-۳-۳)
۴۵.....	مواد و لوازم مورد نیاز جهت انجام واکنش زنجیره ای پلیمرز (PCR): (۳-۳-۴)
۴۷.....	مواد و لوازم مورد نیاز جهت الکتروفورز محصول PCR و ژنوتایپینگ نمونه ها: (۳-۳-۵)
۴۸.....	بافرها و محلول های مورد استفاده در این تحقیق (۳-۴)
۴۸.....	تهیه بافر لیز کننده گلبول های قرمز (ELB): (۳-۴-۱)
۴۸.....	تهیه بافر لیز کننده گلبول های سفید (LLB): (۳-۴-۲)
۴۹.....	تهیه محلول SDS 10% (۳-۴-۳)
۴۹.....	تهیه بافر TE (۳-۴-۴)
۵۰.....	تهیه بافر TAE IX (۳-۴-۵)
۵۰.....	روش کار (۳-۵)
۵۰.....	دستورالعمل استخراج DNA (۳-۵-۱)
۵۲.....	ارزیابی کیفیت DNA استخراج شده، با استفاده از تکنیک الکتروفورز: (۳-۵-۲)

- ۵۲..... (۳-۵-۲-۱) تهیه ژل آگارز ۱٪:.....
- ۵۲..... (۳-۵-۲-۲) آماده‌سازی و لود نمونه‌های DNA استخراج‌شده بر روی ژل:.....
- ۵۳..... (۳-۵-۳) ارزیابی کمیت DNA استخراج‌شده، با استفاده از دستگاه اسپکتروفوتومتر:.....
- ۵۴..... (۳-۵-۴) روش انجام واکنش زنجیرهای پلیمرز (PCR):.....
- ۵۴..... (۳-۵-۴-۱) رقیق‌سازی پرایمرهای لیوفیلیزه.....
- ۵۴..... (۳-۵-۴-۲) روش انجام PCR.....
- ۵۶..... (۳-۵-۵) الکتروفورز محصول PCR و ژنوتایپینگ نمونه‌ها:.....
- ۵۷..... (۳-۵-۶) محاسبات آماری:.....

فصل چهارم: نتایج

- ۶۰..... (۴-۱) نتایج بررسی‌های مولکولی.....
- ۶۰..... (۴-۱-۱) ارزیابی کیفیت DNA استخراج‌شده به روش *Salting out*.....
- ۶۱..... (۴-۱-۲) ارزیابی کمیت DNA استخراج‌شده به روش *Salting out*.....
- ۶۲..... (۴-۲) نتایج حاصل از واکنش زنجیرهای پلیمرز (PCR) پلی‌مورفیسم‌های ژن *CDKN2B-AS1*.....
- ۶۲..... (۴-۲-۱) نتایج الکتروفورز محصولات PCR.....
- ۶۷..... (۴-۳) نتایج آنالیز آماری پلی‌مورفیسم‌های ژن *CDKN2B-AS1*.....
- ۶۷..... (۴-۳-۱) نتایج آنالیز آماری پلی‌مورفیسم *rs2151280*.....
- ۶۷..... (۴-۳-۱-۱) بررسی فراوانی ژنوتیپی پلی‌مورفیسم *rs2151280 C>T*.....
- ۷۲..... (۴-۳-۱-۲) بررسی فراوانی آلی پلی‌مورفیسم *rs2151280 C>T*.....
- ۷۳..... (۴-۳-۱-۳) بررسی تعادل هاردی-واینبرگ پلی‌مورفیسم *rs2151280*.....
- ۷۴..... (۴-۳-۱-۴) بررسی فراوانی ژنوتیپ‌ها در الگوهای توارثی آلل‌های پلی‌مورفیسم *rs2151280 C>T*.....
- ۷۶..... (۴-۳-۲) نتایج آنالیز آماری پلی‌مورفیسم *rs2383207*.....
- ۷۶..... (۴-۳-۲-۱) بررسی فراوانی ژنوتیپی پلی‌مورفیسم *rs2383207 T>C*.....
- ۷۷..... (۴-۳-۲-۲) بررسی فراوانی آلی پلی‌مورفیسم *rs2383207 T>C*.....
- ۷۸..... (۴-۳-۲-۳) بررسی تعادل هاردی-واینبرگ پلی‌مورفیسم *rs2383207*.....
- ۷۹..... (۴-۳-۲-۴) بررسی فراوانی ژنوتیپ‌ها در الگوهای توارثی آلل‌های پلی‌مورفیسم *rs2383207 T>C*.....
- ۷۹..... (۴-۳-۳) نتایج آنالیز آماری پلی‌مورفیسم *rs496892*.....
- ۷۹..... (۴-۳-۳-۱) بررسی فراوانی ژنوتیپی پلی‌مورفیسم *rs496892 C>T*.....
- ۸۴..... (۴-۳-۳-۲) بررسی فراوانی آلی پلی‌مورفیسم *rs496892 C>T*.....
- ۸۵..... (۴-۳-۳-۳) بررسی تعادل هاردی-واینبرگ پلی‌مورفیسم *rs496892*.....
- ۸۶..... (۴-۳-۳-۴) بررسی فراوانی ژنوتیپ‌ها در الگوهای توارثی آلل‌های پلی‌مورفیسم *rs496892 C>T*.....
- ۸۸..... (۴-۳-۴) نتایج آنالیز آماری پلی‌مورفیسم *rs1333049*.....
- ۸۸..... (۴-۳-۴-۱) بررسی فراوانی ژنوتیپی پلی‌مورفیسم *rs1333049 C>G*.....
- ۹۲..... (۴-۳-۴-۲) بررسی فراوانی آلی پلی‌مورفیسم *rs1333049 C>G*.....
- ۹۴..... (۴-۳-۴-۳) بررسی تعادل هاردی-واینبرگ پلی‌مورفیسم *rs1333049*.....
- ۹۴..... (۴-۳-۴-۴) بررسی فراوانی ژنوتیپ‌ها در الگوهای توارثی آلل‌های پلی‌مورفیسم *rs1333049 C>G*.....
- ۹۶..... (۴-۳-۵) آنالیز هاپلوتایپ‌ها و بررسی لینکاژ یا پیوستگی ژنتیکی.....

فصل پنجم

- ۱۰۶..... تأثیر فراوانی برخی از پلی مورفیسم‌های ژن *ANRIL* بر ریسک بروز بیماری‌های مختلف..... (۵-۱)
- ۱۱۲..... مقایسه نتایج مطالعات انجام‌شده مشابه با مطالعه حاضر (۵-۲)
- ۱۱۸..... محدودیت‌های مطالعه (۵-۳)
- ۱۱۹..... نتیجه‌گیری (۵-۴)
- ۱۲۰..... پیشنهادات (۵-۵)

فهرست اشکال، جداول و نمودارها

- شکل ۱-۲. نمایش موارد جدید ابتلا به سرطان به تفکیک قاره‌ها..... ۱۰
- شکل ۲-۲. مناطق مختلف معده ۱۴
- شکل ۳-۳. تظاهرات بالینی سرطان معده ۱۶
- شکل ۴-۲. عفونت هلیکوباکتریلوری در معده ۱۹
- شکل ۵-۲. پلی‌مورفیسم تک نوکلئوتیدی در افراد مختلف ۲۰
- شکل ۶-۲. تصویری شماتیک از ناحیه ژنومی *ANRIL* و نحوه فعالیت آن در ارتباط با تغییرات متیلاسیونی. ۲۳
- شکل ۷-۲. عملکرد *ANRIL* در تنظیم چرخه سلولی. ۲۴
- شکل ۸-۲. نمونه‌ای از پلی‌مورفیسم‌های تک نوکلئوتیدی شناسایی شده در لوکوس *ANRIL*..... ۲۵
- جدول ۱-۳: دستگاه‌های موردنیاز جهت استخراج DNA ۴۴
- جدول ۲-۳: دستگاه‌های موردنیاز جهت الکتروفورز DNA استخراج شده و مستندسازی نتایج ۴۵
- جدول ۳-۳: دستگاه‌های موردنیاز جهت ارزیابی کمی DNA استخراج شده ۴۵
- جدول ۴-۳: اطلاعات مربوط به توالی پرایمرهای طراحی شده ۴۶
- جدول ۵-۳: دستگاه‌های موردنیاز جهت انجام PCR ۴۷
- شکل ۱-۳. نحوه اتصال پرایمرها به ژن *ANRIL*؛ سمت چپ مربوط به جایگاه (rs2151280 C>T) و سمت راست جایگاه (rs2383207 T>C) ۵۴
- شکل ۲-۳. نحوه اتصال پرایمرها به ژن *ANRIL*؛ سمت چپ مربوط به جایگاه (rs496892 C>T) و سمت راست جایگاه (rs1333049 C>G) ۵۵
- جدول ۶-۳. غلظت مواد موردنیاز جهت انجام واکنش PCR ۵۶
- جدول ۷-۳. برنامه دمایی-زمانی PCR به تفکیک جایگاه‌ها ۵۶
- شکل ۱-۴. الکتروفورز DNA ژنومیک استخراج شده ۶۰
- شکل ۲-۴. نمونه‌ای از ارزیابی کمی DNA استخراج شده با استفاده از نانودارپ ۶۱
- شکل ۳-۴. تصویر الگوی الکتروفورز محصولات PCR ژن *ANRIL* rs2151280 ۶۳
- شکل ۴-۴. خروجی نرم‌افزار توالی‌یابی (DNA Sequencing) محصولات PCR (rs2151280) ۶۳
- جدول ۱-۴. طول قطعات تکثیرشده در PCR پلی‌مورفیسم rs2151280 C>T ۶۳
- شکل ۵-۴. تصویر الگوی الکتروفورز محصولات PCR ژن *ANRIL* rs2383207 ۶۴
- شکل ۶-۴. خروجی نرم‌افزار توالی‌یابی DNA Sequencing محصولات PCR (rs2383207 T>C) ۶۴
- جدول ۲-۴. طول قطعات تکثیرشده در PCR پلی‌مورفیسم rs2383207 T>C ۶۴
- شکل ۷-۴. تصویر الگوی الکتروفورز محصولات PCR ژن *ANRIL* rs496892 ۶۵
- شکل ۸-۴. خروجی نرم‌افزار توالی‌یابی (DNA Sequencing) محصولات PCR (rs496892 C>T) ۶۵
- جدول ۳-۴. طول قطعات تکثیرشده در PCR پلی‌مورفیسم rs496892 C>T ۶۵
- شکل ۹-۴. تصویر الگوی الکتروفورز محصولات PCR ژن *ANRIL* rs1333049 ۶۶
- شکل ۱۰-۴. خروجی نرم‌افزار توالی‌یابی (DNA Sequencing) محصولات PCR (rs1333049 C>G) ۶۶
- جدول ۴-۴. طول قطعات تکثیرشده در PCR پلی‌مورفیسم rs1333049 C>G ۶۶
- جدول ۵-۴. نتایج مربوط به فراوانی ژنوتیپی پلی‌مورفیسم rs2151280 ۶۷
- نمودار ۱-۴. نمایش فراوانی ژنوتیپ‌های CC در مقابل CT و TT ۶۸
- جدول ۶-۴. مقایسه فراوانی ژنوتیپی CC در مقابل TT در پلی‌مورفیسم rs2151280 C>T ۶۸
- نمودار ۲-۴. نمایش فراوانی ژنوتیپ‌های CC در مقابل TT ۷۰

- جدول ۷-۴. مقایسه فراوانی ژنوتیپی CC در مقابل CT در پلی مورفیسم rs2151280 C>T ۷۰
- نمودار ۳-۴. نمایش فراوانی ژنوتیپ‌های CC در مقابل CT ۷۱
- جدول ۸-۴. نتایج مربوط به فراوانی آللی پلی مورفیسم rs2151280 ۷۲
- نمودار ۴-۴. نمایش فراوانی آلل‌های C در مقابل T ۷۳
- جدول ۹-۴. بررسی تعادل هاردی-واینبرگ در جمعیت بیمار و سالم ۷۴
- جدول ۱۰-۴. توزیع ژنوتیپی بر اساس ۳ مدل توارث آللی ۷۵
- نمودار ۵-۴. نمایش فراوانی پلی مورفیسم rs2151280 در ۳ مدل ژنتیکی ۷۶
- جدول ۱۱-۴. نتایج مربوط به فراوانی ژنوتیپی پلی مورفیسم rs2383207 ۷۷
- جدول ۱۲-۴. نتایج مربوط به فراوانی آللی پلی مورفیسم rs2383207 ۷۷
- جدول ۱۳-۴. بررسی تعادل هاردی-واینبرگ در جمعیت بیمار و سالم ۷۸
- جدول ۱۴-۴. نتایج مربوط به فراوانی ژنوتیپی پلی مورفیسم rs496892 ۷۹
- نمودار ۶-۴. نمایش فراوانی ژنوتیپ‌های CC در مقابل TT و CT ۸۰
- جدول ۱۵-۴. مقایسه فراوانی ژنوتیپی CC در مقابل TT در پلی مورفیسم rs496892 C>T ۸۱
- نمودار ۷-۴. نمایش فراوانی ژنوتیپ‌های CC در مقابل TT ۸۲
- جدول ۱۶-۴. مقایسه فراوانی ژنوتیپی CC در مقابل CT در پلی مورفیسم rs496892 C>T ۸۲
- نمودار ۸-۴. نمایش فراوانی ژنوتیپ‌های CC در مقابل CT ۸۳
- جدول ۱۷-۴. نتایج مربوط به فراوانی آللی پلی مورفیسم rs496892 ۸۴
- نمودار ۹-۴. نمایش فراوانی آلل‌های C در مقابل T ۸۵
- جدول ۱۸-۴. بررسی تعادل هاردی-واینبرگ در جمعیت بیمار و سالم ۸۵
- جدول ۱۹-۴. توزیع ژنوتیپی بر اساس ۳ مدل توارث آللی ۸۶
- نمودار ۱۰-۴. نمایش فراوانی ژنوتیپ‌های پلی مورفیسم rs496892 در ۳ مدل ژنتیکی ۸۷
- جدول ۲۰-۴. نتایج مربوط به فراوانی ژنوتیپی پلی مورفیسم rs1333049 ۸۸
- نمودار ۱۱-۴. نمایش فراوانی آلل‌های CC در مقابل CG و GG ۸۹
- جدول ۲۱-۴. مقایسه فراوانی ژنوتیپی CC در مقابل GG در پلی مورفیسم rs1333049 C>G ۸۹
- نمودار ۱۲-۴. نمایش فراوانی ژنوتیپ‌های CC در مقابل GG ۹۰
- جدول ۲۲-۴. مقایسه فراوانی ژنوتیپی CC در مقابل CG در پلی مورفیسم rs1333049 C>G ۹۱
- نمودار ۱۳-۴. نمایش فراوانی ژنوتیپ‌های CC در مقابل CG ۹۲
- جدول ۲۳-۴. نتایج مربوط به فراوانی آللی پلی مورفیسم rs1333049 ۹۲
- نمودار ۱۴-۴. نمایش فراوانی آلل‌های C در مقابل G ۹۳
- جدول ۲۴-۴. بررسی تعادل هاردی-واینبرگ در جمعیت بیمار و سالم ۹۴
- جدول ۲۵-۴. توزیع ژنوتیپی بر اساس ۳ مدل توارث آللی ۹۵
- نمودار ۱۵-۴. نمایش فراوانی ژنوتیپ‌های پلی مورفیسم rs1333049 در ۳ مدل ژنتیکی ۹۶
- جدول ۲۶-۴. توزیع هاپلوتایپ‌ها در گروه سالم و بیمار و کل جمعیت ۹۷
- نمودار ۱۶-۴. نمایش معناداری هاپلوتایپ‌ها در گروه بیمار و سالم ۹۹
- شکل ۱۱-۴. نمایش رابطه همبستگی SNP ها ۱۰۰
- جدول ۲۷-۴. توزیع هاپلوتایپ‌ها در گروه سالم و بیمار و کل جمعیت ۱۰۱

اختصارات:

Allo-HSCT	Allogeneic Hematopoietic Stem Cell Transplantation
AML	Acute Myeloid Leukemia
ASPCR	Allele-Specific Polymerase Chain Reaction
BPH	Benign Prostatic Hyperplasia
CCRCC	Clear cell renal cell carcinoma
CDKN2B-AS1	Cyclin-Dependent Kinase Inhibitors 2B Antisense RNA1
CHD	Coronary Heart Disease
ECG	Early gastric cancer
ENCODE	Encyclopedia of DNA Elements
GWAS	Genome-Wide Association Study
HWE	Hardy–Weinberg Equilibrium
INK4	Inhibitor of Cyclin-Dependent Kinase 4
IS	Ischemic Stroke
LncRNA	Long non-coding RNA
PRC	Polycomb Repressive Complex
SCC	Squamous Cell Carcinoma
SNP	Single Nucleotide Polymorphism
TCCUB	Transitional Cell Carcinoma of Urinary Bladder

بررسی فراوانی برخی پلی مورفیسم‌های مرتبط با ژن *CDKN2B-AS1* در افراد مبتلا به سرطان معده

چکیده:

زمینه: علی‌رغم پیشرفت‌های قابل توجه در علوم پزشکی، سرطان همچنان به‌عنوان یکی از مهم‌ترین بیماری‌های قرن حاضر و دومین علت مرگ‌ومیر بعد از بیماری‌های قلب و عروق مطرح است. سرطان معده یکی از شایع‌ترین بدخیمی‌های انسانی و ششمین سرطان شایع جهان است. این سرطان، با حدود ۱,۰۸۹,۱۰۳ مورد جدید ابتلا و ۷۶۸,۷۹۳ مورد مرگ در سال ۲۰۲۰، به‌عنوان سومین علت اصلی مرگ‌ومیر ناشی از سرطان در سراسر جهان گزارش شده‌است. عوامل خطر سرطان معده شامل رژیم غذایی، چاقی، مصرف الکل و سیگار، عفونت هلیکوباکتریلوری و عوامل ژنتیکی می‌باشند. عوامل ژنتیکی عمدتاً به ژن‌های درگیر در سرطان اشاره دارد که نقش بسزایی در تغییرات ژنتیکی و اپی‌ژنتیکی، انکوژن‌ها، ژن‌های سرکوبگر تومور، تنظیم‌کننده‌های چرخه سلولی، ژن‌های ترمیم DNA و مولکول‌های سیگنالینگ دارند. مؤلفه‌های اصلی عوامل ژنتیکی، جهش‌ها و پلی مورفیسم‌ها هستند که اثر خود را با تغییر میزان بیان یا عملکرد پروتئین‌ها ایجاد می‌کنند. ژن *CDKN2B-AS1* یکی از مهم‌ترین ژن‌های دخیل در سرطان‌های انسانی، به‌ویژه سرطان معده بوده و در بسیاری از سرطان‌ها نقش پروانکوژنیک دارد. پلی مورفیسم‌ها عامل تفاوت‌های فردی در حساسیت نسبت به استعداد ابتلا به بیماری و پاسخ به درمان دارویی هستند؛ بنابراین، مشخص کردن انواع ژنوتیپ‌های مختلف که افراد را مستعد ابتلا به سرطان معده می‌کنند، می‌تواند در غربالگری، تشخیص و درمان بسیار مفید باشد.

هدف: مقایسه فراوانی برخی پلی مورفیسم‌های وابسته به ژن *CDKN2B-AS1* در افراد مبتلا به سرطان معده و افراد سالم.

مواد و روش‌ها: در این مطالعه مورد-شاهدی ۲۲۸ نفر (۱۱۸ فرد مبتلا به سرطان معده به‌عنوان گروه مورد و ۱۱۰ فرد سالم به‌عنوان گروه کنترل یا شاهد) از کلینیک ارس بیمارستان امام خمینی (ره) و مرکز تحقیقات گوارش و کبد اردبیل انتخاب گردیدند. نمونه‌های خون کامل از افراد مورد مطالعه جهت استخراج DNA و تعیین

پلی مورفیسیم‌های ژن *CDKN2B-ASI* با استفاده از تکنیک Tetra-Primer ARMS-PCR جمع‌آوری گردید و در پایان، نتایج توسط آزمون‌های آماری t-test و X^2 مورد تجزیه و تحلیل قرار گرفتند.

نتایج: پس از آنالیز داده‌ها، فراوانی ۳ پلی مورفیسیم rs1333049، rs496892 و rs2151280 در دو گروه سالم و بیمار، از اختلاف معناداری برخوردار بود ($p < 0.05$)؛ اما پلی مورفیسیم rs2383207 در مطالعه ما، فراوانی نسبتاً یکسانی در دو گروه مورد مطالعه از خود نشان داد ($p > 0.05$). همچنین، پس از انجام تست‌های تکمیلی مشخص شد، افراد با هاپلوتایپ CCTG، کمتر و افراد با هاپلوتایپ‌های TTTG، CTTG و TTTC، بیشتر در معرض ابتلا به سرطان معده هستند.

نتیجه‌گیری: نتایج مطالعه ما نشان داد برخی از پلی مورفیسیم‌های ژن *ANRIL* یا *CDKN2B-ASI* با افزایش ریسک بروز سرطان معده همراه بوده و برخی دیگر اثر محافظت‌کننده در برابر بروز این سرطان داشتند. می‌توان گفت، هریک از پلی مورفیسیم‌های rs1333049، rs496892 و rs2151280 می‌توانند به‌عنوان نشانگرهای زیستی (بیومارکر) در تشخیص زودهنگام و پیش‌آگهی سرطان معده نقش بسزایی داشته باشند که این مستلزم انجام تحقیقات بیشتر و گسترده‌تر است.

کلمات کلیدی: سرطان معده، RNA غیرکدکننده بلند، *CDKN2B-ASI*، انکوژن، پلی مورفیسیم تک

نوکلئوتیدی